

河道分布系における洪水ピークの流下過程

京都大学工学部 正員 石原藤次郎
 京都大学工学部 正員 ○高橋珠馬
 京都大学大学院 学生員 鹿島邦雄

1. まえがき； 河道分布系は、対象地点からみて河道の統計分布則が成立する河道網系と、成立しない河道配列系の二つにわけて取り扱う必要がある。ただ、この分類は対象地点の位置によって変わるものである。洪水は、こうした河道分布系を流下・合流していくが、その過程を把握し、单数または複数の対象地点における洪水ピークの予測法を確立することは、ダムまたはダム群による洪水調節の最適操作方式を確立するにあたって急務を要する問題である。

われわれは、こうした課題の検討を進めてきているが、本報告では河道網系における洪水ピークの流下合流過程とピーク値およびその起時の予測法について述べる。

2. 河道分布系とそのモデル化

河道分布系とは、河道の線的分布状態だけを意味するのではなく、小流域面積、河道長、集水面積、こう配、河道横断面積、粗度などが合成されたシステムとして定義される。これを、モデル化する目的は、洪水ピークの流下合流過程を普遍的かつ定量的に表現する点にあることはいうまでもない。そのモデル化は、Horton の河道の位数化を基準とし、これによつて得られる地形則および確率論的に導びかれた河道分布の幾何学的統計則が基礎となる。

1) 河道の位数と河川地形則および統計則；新星地形学の成果のうち、とくに重要と考えられるものは、つぎの四つの経験的地形則、すなわち、河道数則： $N_u = N_1 R_b^{k-u}$ 、河道長則： $L_u = L_1 R_a^{u-1}$ 、集水面積則： $A_u = A_1 R_a^{u-1}$ 、河道こう配則： $S_u = S_1 R_s^{k-u}$ である。ここで、 N_u は位数 u の河道数、 L_u 、 A_u 、 S_u はそれを位数 u の河道長、集水面積、こう配の平均値である。たゞ流域最下流端の位数であり、また $R_b = N_u / N_{u+1}$ 、 $R_a = L_{u+1} / L_u$ 、 $R_s = S_u / S_{u+1}$ であつて、一流域においては、これらも一定値をとることが知られている。つぎに、河道の平衡的分布については、 $1/4$ 則： $N_u / N_1 = (1/4)^{u-1}$ 、 $1/2$ 則： $N(Cu) / N_1 = (1/2)^i$ 、 $3/4$ 則： $vN_u / N_1 = 3/4(1/4)^{v-u-1}$ の三つの統計則が理論的に得られてゐる。 $1/4$ 則は分岐比 R_b が 4 であることを示すものであり、 $1/2$ 則は、同位数の河道の分岐則を示すものであり、 $N(Cu)$ は位数 $u-1$ の河道が $(i+1)$ 本流入する(合流点数 i) 位数 u の河道数である。また、 $3/4$ 則は異位数の河道の接続状態を示す統計則であり、 vN_u は位数 v ($v = u+1, u+2, \dots, k$) の河道に流入する位数 u の河道数である。

2) 河道分布系の lumping scale モデル化； 河道分布系は、以上の河川地形則と統計則によつてモデル化されるわけであるが、洪水ピークの流下合流過程を考える場合、二つの根本的问题が生ずる。もとより、河道の位数化は、河道分布系を位数によつて lumping し、集中パラメータ系における行列表で表される。ところで、位数化は地形圖のスケールによつて異なり、その結果、lumping scale は地形圖のスケールによつて変わってくる。このスケールを何を標準として決定するかが問題の第一点である。第一つの問題は、対象地点を含む位数の河道では、上記の統計則が成り立たなくなる、すなわち、河川地形則も成り立たなくなる。すなわち、対象地点の存在する河道の lumping は通常意味を持

さほくはるから、ここでは分布パラメータ系として扱う必要がある。この意味で、集中パラメータ系として処理できる部分を河道網系、分布パラメータ系として扱う必要がある部分を河道配列系とよんだのである。当然のことながらこの二つの系の存在域は、一本川内でも対象地点の位置によって変わってくる。河道分布系は、この二つの系の合成系であるから、洪水ピークの流下合流過程を統一的に表現するには、集中パラメータ系と分布パラメータ系をそれぞれに適応した方法で解析すると同時に、その合成をはかる必要がある。これが第2の問題点である。

3) lumping scale ; このようにスケールの地形図を用いても、位数(O_1)の河道(けい谷)のランダム分布を前提とする限り、上記三つの統計則は成立する。問題は、 O_1 の河道の定義であり、それは、試験流域あるいは室内実験結果で一般流域流出との相似関係を規定するうえで重要であると同時に、 O_2 の河道への最初の流入強度を決めううえで決定的な意味を持つ。残念ながら、この問題はいまだに解明されていない。ただし、河道ひん度(単位面積あたりの河道数) F と河道密度(単位面積あたりの河道長) D の間に、地形図のスケールにかかわらず $F/D^2 = \text{const.}$ の関係が成り立ち、この const. はスケールに無関係であるとする Horton の示した実証例が一つの指標となる。すなはち、地形則から、 $F/D^2 = \frac{\bar{L}_1^2}{A_k} \left(\frac{R_b^k - R_L^k}{R_b - R_L} \right)^2 \left(\frac{R_b - 1}{R_b^k - 1} \right) = \text{Invariant const. for map's scale}$

の関係が成り立つから、 \bar{L}_1 の値を算出すれば、それば、地形図のスケールに適した O_1 の長さを考えるのである。

3. 洪水ピークの流下過程； 河道網系における洪水ピークの流下過程は、 O_1 のピークが O_2 の 1 ド (河道) に流入し、そこで変換をうけ O_2 1 ドの流出ピークとなり、これがさらに O_3 の 1 ドへの流入ピークとなる。この過程について説明しよう。

1) O_1 の流出ピーク； O_1 の河道長および面積のひん度分布は一般に対数正規分布をなすが、この理由は、1/2則によて説明できる。すなはち、1/2則は、合流域数またはある 1 ドへの流入流域数の分布を表現するものであるが、現実の各流入流域はそれ自体ある種の分布をもち、その結果、1 ドへの流入流域面積への分布は、1/2則と個々の流域の分布からなる複合分布をなすのである。この結果、1 ドへの流入面積分布は正に非対称の分布となり対数正規分布に近くものと予想される。しかし、個々の流域面積のバラツキは1/2則をよく小さく変形するだけである。たとえば、1/2則によれば、 $E(Nu) = 3$ 、 $\sigma_{Nu} = \sqrt{3}$ であり、変動係数は約 0.55 であるが、流域面積の変動係数は 0.3 ~ 0.5 であり、また、その標本平均は、1/2則の 1 次の積率点の値とはほぼ一致する。このことば、位数の位数の流域面積、河道長といふ量についていえることは重要なであって、このようなスケールの地形図を用いても、それによつて決まる O_1 の流出ピークは、その平均値をとればよいことを意味する。というのは、 O_1 の河道長 \bar{L}_1 をある基準(たとえば、Horton の定義したよう $\bar{L}_1 = \bar{L}_g = 1/2D$) とすればよいことを示し、それ以上小さくとっても、やはりその内部では1/2則が成り立つであろうから、いずれにしろ初期流出ピークは平均値をとる以外に方法がないからである。

2) 1 ドの入・出流量ピークとの平均化； O_2 の 1 ドは、確率論的に $N_1 - 1$ 台の状態であることがいえ、その集合 C_2 は、

$$C_2 = \{C_2, zC_2, \dots, iC_2, \dots, (N_1 - 1)C_2\}$$

$$= \left\{ \frac{1}{2}, \frac{1}{2}, \dots, \frac{1}{2}, \dots, \frac{1}{2} \right\}$$

で表わされる。 $i = 1$ 时, iC_2 は、 i ノードの合流点をもつ O_2 の 1 ノードであり、その確率は $P_i(iC_2) = (\frac{1}{2})^4$ である。 $i \geq 1$ 时, iC_2 の C_{2i} の上で流れる流出流量 $E(i\bar{\theta}_{pz})$ は、 $E(i\bar{\theta}_{pz}) = \alpha_i(2+i-1)p_i \bar{\theta}_{pi}(\frac{1}{2})^4$ (1) で与えられる。 $i = 1$ 时, α_i は面積配分係数, $\bar{\theta}_{pi}$ は O_1 のピークであり、また、 iP_i は iC_2 の合流率の平均を表わし、数値計算によると、 iP_i は i にかかるずつほぼ一定値をとるので、 $iP_i \equiv p_i$ とおく。また、 iC_2 のピークの伝達時間 $E(iT_{pz})$ は、 $E(iT_{pz}) = 0.6 i l_2 \bar{R}_2 / (E(i\bar{\theta}_{pz}))^{0.4}$ (2) で与えられ、 $i = 1$ 时, l_2 は隣り合った O_1 の流入枝の間隔であり、 $\bar{R}_2 = (\bar{n}_2 / \sqrt{\sin \theta_2} \cdot \bar{s}_2)^{0.6}$ で、 \bar{n}_2 , $\sin \theta_2$, \bar{s}_2 はそれぞれ、 O_2 の粗度、こう配、じゅん波長であり、 \bar{R}_2 は平均値を示す。

$E(i\bar{\theta}_{pz})$ と $E(iT_{pz})$ との関係は、図-1 のパルス列にようり、その和はパルス関数 $E(\bar{\theta}_{pz})$ となる。すなはち、 $E(\bar{\theta}_{pz}) = \sum_{i=1}^{N-1} E(i\bar{\theta}_{pz}) = \alpha_i(2+p_i)\bar{\theta}_{pi}$ (3) となる。パルス列 $E(i\bar{\theta}_{pz})$ は O_2 の 1 ノードへの入力となるが、 O_2 と O_3 の 1 ノードの接続は確率論的に独立であり、かつまた、パルス列 $E(i\bar{\theta}_{pz})$ の時間間隔は極めて小さいところから、 O_2 から O_3 への入力は $E(\bar{\theta}_{pz})$ として十分である。

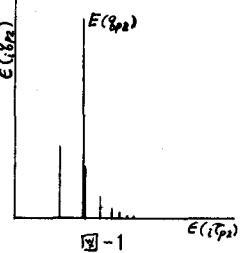


図-1

以上の関係は、河道網系においては位置の位数の 1 ノード間にても成り立ち

$$E(\bar{\theta}_{pu+1}) = \alpha_u(2+p_u)E(\bar{\theta}_{pu}) \quad (4), \quad E(T_{pu}) = E(T_{pu-1}) + 2\bar{T}_u \quad (5)$$

の関係が得られる。 $i = 1$ 时, $\alpha_u = 1/2 \cdot R_a$ である。だが、(5)式の算术過程は省略したが、 \bar{T}_u は O_{u-1} の 1 ノード内の合流点間隔のピークの平均伝達時間である。

3) 合流率 p_u の表現； 合流率 p_{ui} は、 O_{u-1} の 1 ノードのピーク伝達時間 \bar{T}_u の指数関数となるパラメータとして、 $p_u = \exp(-\alpha \bar{T}_u)$ (6) とおく。また、 \bar{T}_u と \bar{T}_{u-1} の間には、特性曲線法と地形則によつて、

$$\bar{T}_u / \bar{T}_{u-1} = R_L \cdot R_a^{-0.4} \cdot R_s^{0.3} \cdot \left(\frac{\bar{T}_{u+1}}{\bar{T}_u} \right)^{0.4} \cdot \left(\frac{\bar{n}_u}{\bar{n}_{u-1}} \right)^{0.6} \quad (7)$$

の關係がなりうる。(6)式は、 $p_u = P_i \bar{\theta}_{pi}$ (8) で表わされる。

4. ピークとその起時の期待値； 式(3), (4) より(5)から、流域最下流端におけるピーク流量の期待値 $E(\bar{\theta}_{pk})$ と、その生起時刻の期待値 $E(T_{pk})$ は

$$E(\bar{\theta}_{pk}) = \sum_{u=1}^{N-1} \alpha_u(2+\beta_u p_u) \bar{\theta}_{pi} \quad (9)$$

$$E(T_{pk}) = T_{p1} = \left\{ \sum_{u=1}^{N-1} \xi_u (\bar{T}_u / \bar{T}_1) \right\} \cdot \bar{T}_1 \quad (10)$$

で表わされる。 $i = 1$ 时, β_u , ξ_u はそれぞれ

$$\beta_u = \sum_{i=1}^{i_{max}} (i-1) \frac{N(iC_u)}{N(C_u)}, \quad \xi_u = \frac{\sum_{i=1}^{i_{max}} i(i+3)/2 \cdot N(iC_u)}{\sum_{i=1}^{i_{max}} (i+1) N(iC_u)}$$

である。河道の統計則からのはずれの補正係数である。統計則が成立立つときには、 $\beta_u = 1$, $\xi_u = 2$ となる。

5. 適用例： O_1 の流出ピーク $\bar{\theta}_{p1}$ は、 O_1 の集水域におけるピークの到達時間 T_{p1} の置換有効降雨 R_{e*} の平均強度を R_{mp1} とするとき、 $\bar{\theta}_{p1} = R_{mp1} \cdot \bar{A}_1$ (11) で与えられる。これと(9)式から、

$$E(S_{pk}) = R_{mp1} \cdot f(p) \quad (12) \quad \text{で表わされる。}$$

$= 1\%$, $f(p)$ は, $f(p) = \bar{A}_1 \prod_{i=1}^{K-1} a_i (2 + \beta_0 p_i)^{\frac{\bar{a}_i}{\bar{t}_i}}$ (13) で与えられ, $p_1 = p$ とおけば, p 以外はすべて地形解析によって数量化できる。また, p は $p = e - d \bar{t}_i$ で与えられてから, R_{mp1} との関には, $p_i = \exp \{-C(R_{mp1})^{-0.4}\}$ (14) $C = 0.227d \bar{L}_2 \cdot \bar{R}_2^{-0.3} \cdot \sin \theta_2 \cdot \delta_2 \cdot \bar{A}_1^{-0.4}$ である。 C は常数であるから, p は R_{mp1} のみの函数となり, かつ $E(S_{pk})$ は, R_{mp1} の値と流域特性値によって与えられるところである。以上を大野ダム上流部に適用してみよう。ここで必要な流域特性値は, 1/50,000 の地形図を用いたが, その結果を表-1 に示す。これから \bar{a}_i / \bar{t}_i を(7)式によって算出する, 表-2 のようになる。

表-1

	1	2	3	4	5
\bar{L}_2	0.64	1.28	3.79	15.10	11.60 (km)
\bar{A}_1	0.68	2.68	13.11	94.52	319.87 (km ²)
\bar{S}_u	1.87×10^1	9.27×10^2	5.96×10^2	2.08×10^2	2.16×10^3
\bar{a}_i	1.39	1.63	1.35	1.13	
β_0	0.84	1.00	3.33	1.00	
\bar{t}_i	1.45	2.08	4.06	1.67	

$$\bar{t}_i = G_i \cdot R_{mp1}^{-0.4} \quad (16)$$

で与えられ, $= 1\%$, $G_i = c/d$ である。

ところで, R_{mp1} は, 特性曲線法の最大流量発生条件を用いて以下のように求めめる。

- (1) 与えられたハムエトグラフを置換有効降雨に変換する。(2) R_{mp1} を仮定し, (16) 式から \bar{t}_i を求めめる。(3) $=$ の \bar{t}_i を(15) 式に代入して \bar{t}_{p1} を求めめる。(4) $=$ の T_{p1} を用いて最大流量の発生条件から R_{mp1} を算出する。(5) $=$ の値が假定した R_{mp1} と一致しなければ, R_{mp1} を新らに假定して, (3)以下の操作をくり返す。以上のようにして得た R_{mp1} と共に計算する中の値を多くの出水について算出した結果を図-3 に示す。

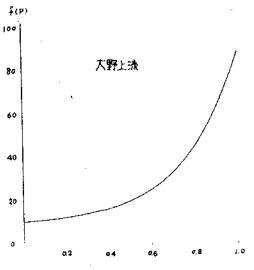


図-2

\bar{t}_2 / \bar{t}_1	\bar{t}_3 / \bar{t}_1	\bar{t}_4 / \bar{t}_1
1.68	2.42	3.88

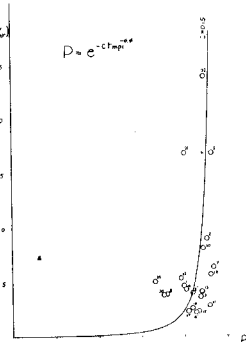


図-3

6. 結び: 以上, 河道網系におけるピーク値と超時の算定法を二つ大きく説明したが, これらは, 淡水調節ダムへの流入流量予測の迅速化, あるいは資料の少ない河川工流水深部の淡水流量予測が可能となることを示している。今後は, $=$ を基礎として河道網系の淡水ピークの予測理論を組み立てたい。

参考文献

- 1) Ven Te Chow; Handbook of Applied Hydrology, McGraw-Hill Book Company, Section 4-II, 1964.
- 2) 高橋琢馬, 濱野邦雄: 河域地形の統計, 第23回土木学会年次学術講演会講演概要, 1967.
- 3) 高橋琢馬, 濱野邦雄, 入江洋樹: ダムによる淡水流出の適応制御, 第23回土木学会年次学術講演会講演概要, 1968.